

九州大学 正員 山内 豊駿 正員 後藤 恵之輔
鹿児島高専 正員 村田 秀一 正員 ○岡林 巧

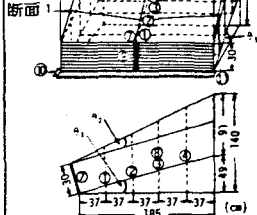
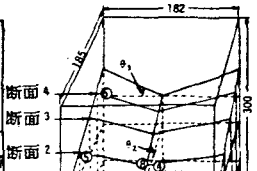
1. まえがき 桜島は1955年に南岳が火山活動を再開して以来、今までしばしば大小の山頂噴火を繰り返しており、降下火山灰の堆積も著しい。特に標高約500m以上の植生のない降灰地帯においては、降雨のたびに激しい侵食前襲が進行している。本研究は、数種類の降雨パターンで人工降雨実験を行い、降雨による降灰層の侵食前襲機構について比較検討したものである。

2. 実験方法と試料の性質 実験は、図-1に示す斜面を整形後、降雨強度39~104mm/hの範囲で実施した。斜面に用いた試料は、礁で採取して粒径10mm以下の流出火山灰砂で、比重は2.50、粒度組成は砂分53%、石けん分40%、シルト分以下7%である。なお、一部降灰層の下に透水層として粒径30mm以下のボラを層厚50mmで敷設した実験も行った。

3. 実験の結果および考察 実験の条件および結果は表-1に示すとおりである。実験1~4は断続降雨パターンで、実験5~9は連続降雨パターンである。ここの数年来の実験結果から終局的な斜面前襲は、断面2(図-1参照)の間隙水圧がほぼ4kPaを越えた時点で発生するところが判っているので、特に実験1, 2, 4では前襲の寸前に降雨を停止し、その後の斜面の挙動を検討したものである。表-1から判るように、前襲時の平均飽和度は、断続降雨パターンの場合約55%で、連続降雨パターンの場合約75%を示しており、前者の降雨条件では平均飽和度が低くて斜面前襲を生ずる傾向にある。このことは、両者に関して後述する貯水状態の違いを示唆するものである。また、前襲時の断面2における間隙水圧は約4kPaを示しており、終局的な前襲の発生するとした値に等しい。ただ、降雨強度の小さい条件ほど低い間隙水圧で前襲が発生する傾向にあること、さらに実験9のように、実験8と同一降雨強度であっても透水層の存在によって、侵食前襲の発生がみられないことなどは、新たなる知見である。次に、斜面の降雨特性の一例を図-2に示す。図から明らかのように、断続的な降雨パターンの場合、単位浸透流出水量はピークが少し遅れながら増減し、累積間隙水量も漸次増えて斜面は前襲していることが判る。図-3は、降雨に伴う斜面内の貯水状態を示したものである。断続降雨パターンの代表例である実験3では、予想したとおり斜面先部に降雨の休止毎に水平に貯水する状態となり、斜面先部に近い部分が飽和に近い状態であったものと考えられる。一方、実験6, 7の連続降雨パターンの場合には、降雨に伴って漸次不透水斜面に沿って貯水する傾向が認められ、斜面全体において高含水比になると同時に斜面が前襲したものと考えられる。断続降雨パターン(実験3)、連続降雨パターン(実験

表-1 実験の条件および結果

実験番号 No.	降雨強度 (mm/h)	降雨パターン (X印は崩壊発生を示す)	傾斜角 (°)	初期比重 (Z)	初期湿度 (mtr)	崩壊発生				間隙水圧発生時間				下層条件	
						時間		饱和度		時間		間隙水圧			
						①	②	①	②	①	②	③	④		
1	66	X 80°	θ ₁	7.4	13.7	-	-	-	-	-	-	50	55	80	-
2	80	X 56°	=θ ₂	8.5	-	-	-	-	-	-	-	15	45	60	80
3	93	X 24°	=θ ₃	8.5	13.8	205	52	36	31	4.3	5.1	30	50	115	130
4	104	X 34°	=15	8.2	14.5	-	-	-	-	-	-	95	105	130	175
5	80	X 115°		8.6	13.6	115	77	42	32	4.3	4.8	15	50	70	90
6	86	X 93°		7.6	14.0	93	73	26	27	3.1	4.0	40	45	55	70
7	45	X 24°		4.1	15.4	245	75	15	15	3.3	3.0	20	140	155	-
8	63	X 138°		5.7	14.7	138	70	16	15	2.9	2.8	90	105	120	-
9	63			6.8	14.7	-	-	-	-	-	-	-	180	-	-



① 間隙水圧計、水位計
② 斜面変位計、斜面移動計
③ 埋込式変位計(土圧計)
④ 浸透流出水層といふ
⑤ 表面流水流出土壌用といふ

透水層(ボラ)
 $\theta = 15^\circ$
 $0 = 5\text{cm}$

図-1 斜面の形状寸法および計測部位

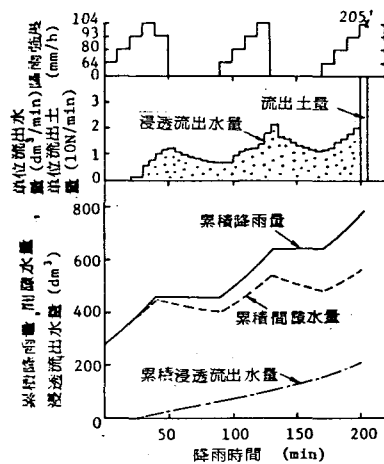


図-2 斜面の降雨特性の一例(実験3)

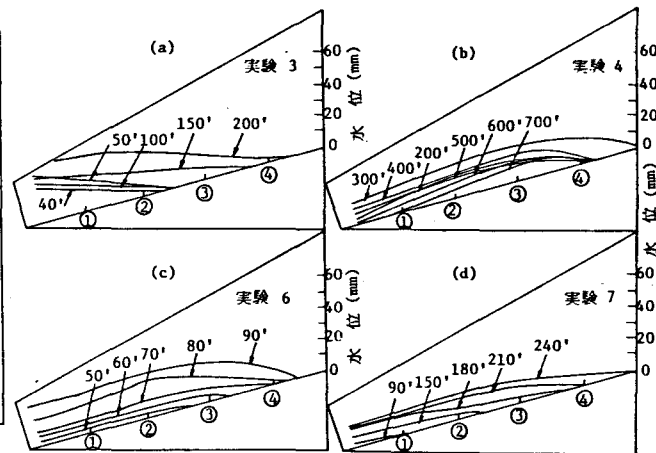


図-3 降雨に伴う斜面内の貯水状態

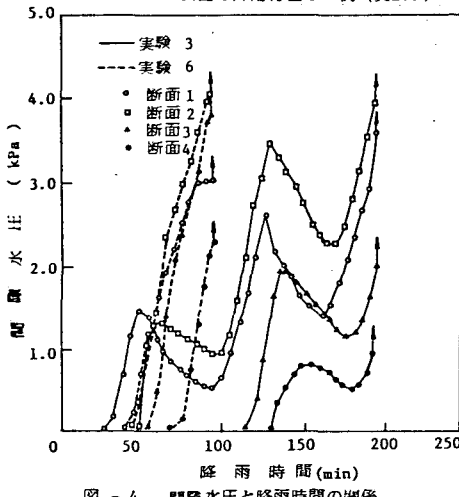


図-4 間隙水圧と降雨時間の関係

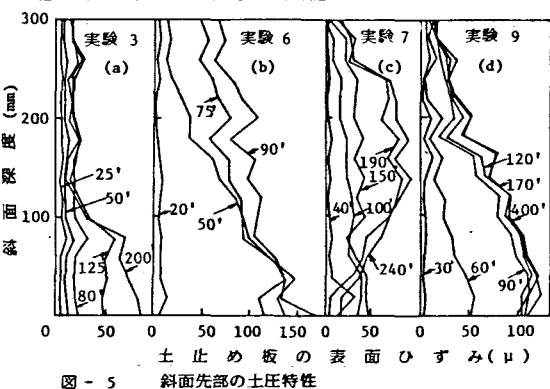


図-5 斜面先部の土圧特性

6)の両者の代表例について、間隙水圧と降雨時間の関係を示す。図-4は、断続降雨パターンと間隙水圧の変動を示す。また、間隙水圧は、断面1, 2, 3, 4の順で発生し、斜面先端から斜面後方に向って漸増する傾向にある。このことは、図-3に示した貯水の挙動を裏付けるものである。図-5に斜面先端の土圧特性を示す。断続降雨パターン(実験3)の場合、斜面下部の貯水部位の土圧が増大するのみで上中層には増大しない特徴を有する。また、連続降雨パターン(実験6, 7, 9)の中でも最大降雨強度の実験6の土圧が全体的に急増するのに比べ、最小降雨強度の実験7のそれは、漸次中央部が増大して崩壊に至っている。さらに、崩壊しなかつた実験9の土圧分布は、下部ほど増大するが、90分以降には全体的に増加の傾向を示さない。これらの降雨に伴う土圧分布は、貯水状態と密接に関係しているものと考えられる。図-6は、降雨強度と斜面崩壊時間との関係を示したもので、降雨強度が40~80mm/hの範囲であれば斜面崩壊は、100~250分の範囲で発生するところが判る。ただ、この図では、斜面が崩壊しない降雨強度が定められていない、これは今後の問題としたい。

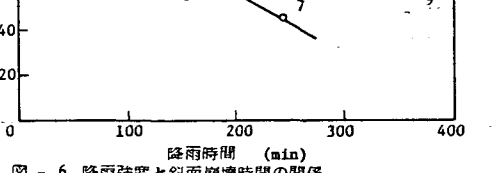


図-6 降雨強度と斜面崩壊時間の関係

謝辞：本研究は鹿児島県地域学術調査協議会による研究に参加して得られた成果の一環であることを文部省科学研究費の補助を受けたものであることを付記し、さらに実験に際して終始協力を受けた鹿児島高専基礎工学研究室主任川添伸洋、准教授下野千尋、助教渡辺義典、参考文献、(1)田中・田村・山内・佐藤(1980)、降雨下における桜島火山灰斜面の侵食前兆供給機構について、第1回土質学会発表会講演集、pp.1153~1160。